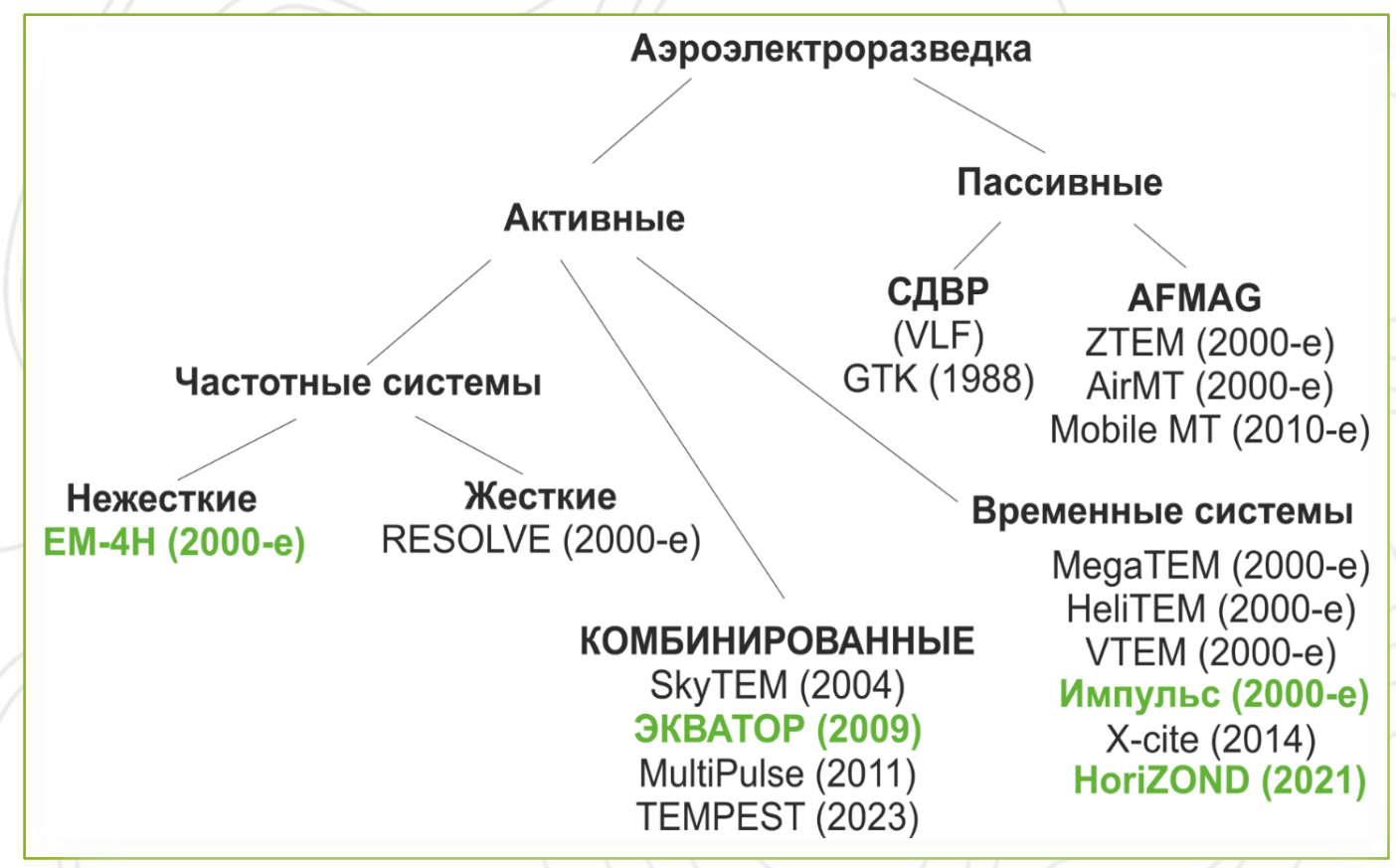


### Современные аэрогеофизические комплексы

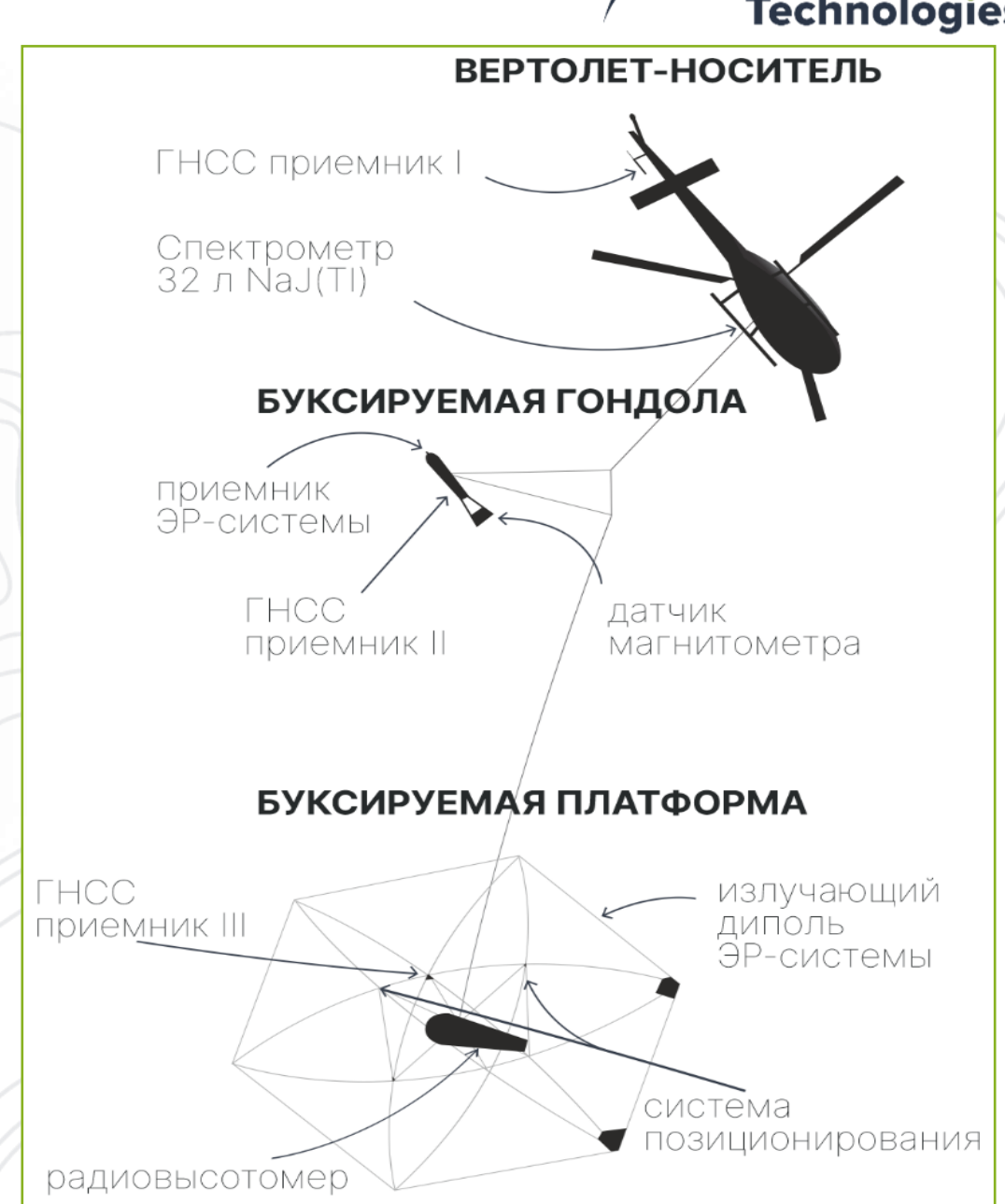






Современные аэрогеофизические комплексы:

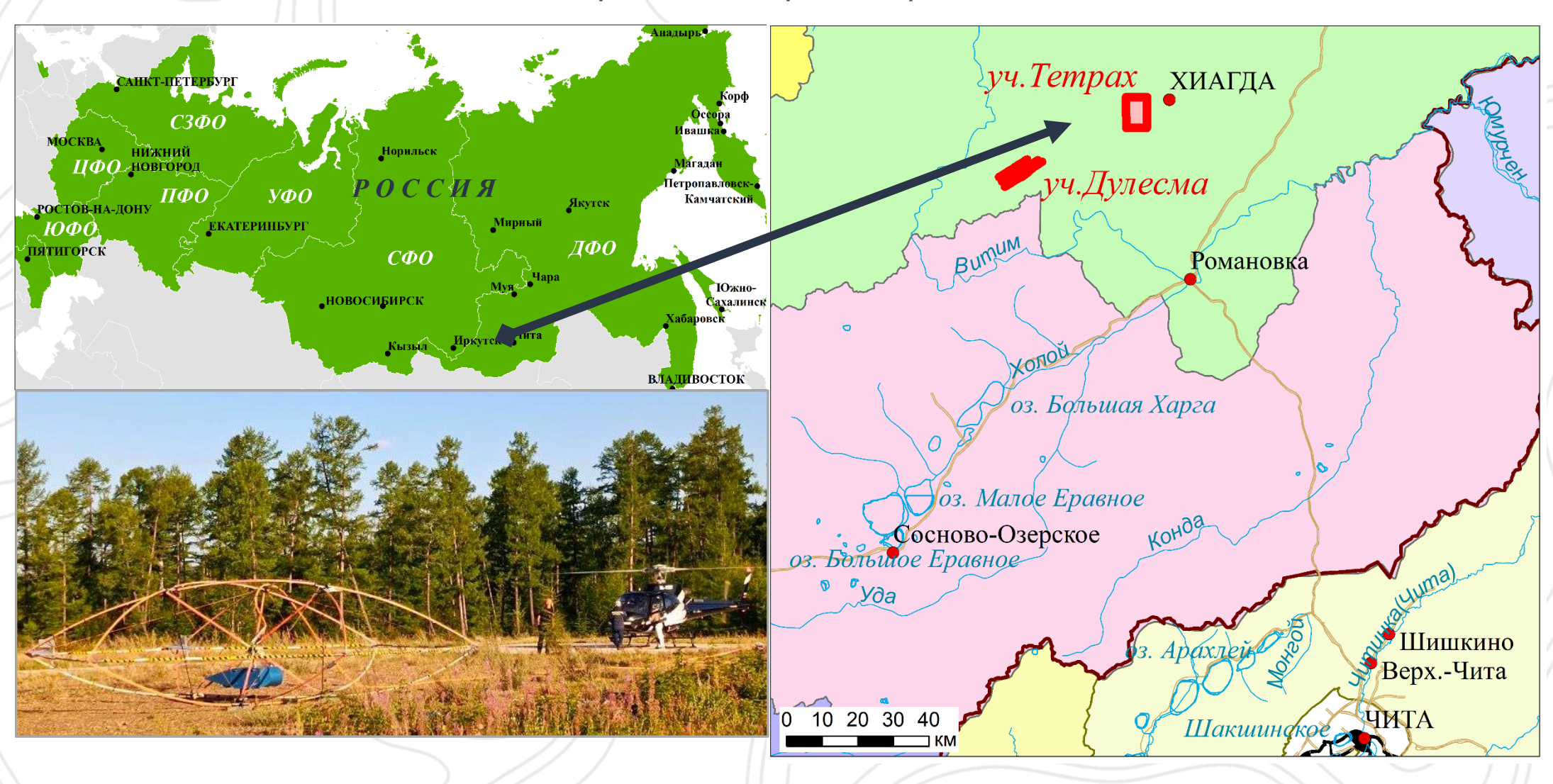
- Электроразведка
- Магниторазведка
- Гамма-спектрометрия



## Результаты работ



#### Обзорная схема района работ



## Результаты работ





## Результаты работ

Дулесма



#### Схематическая карта участка Дулесма

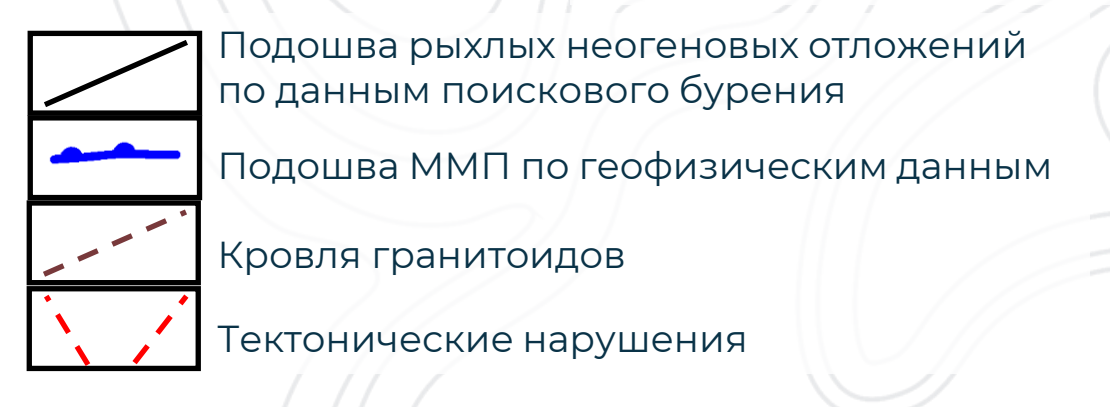


#### Результаты опытно-методических работ на участке Дулесма Геолого-геофизический разрез





#### Условные обозначения

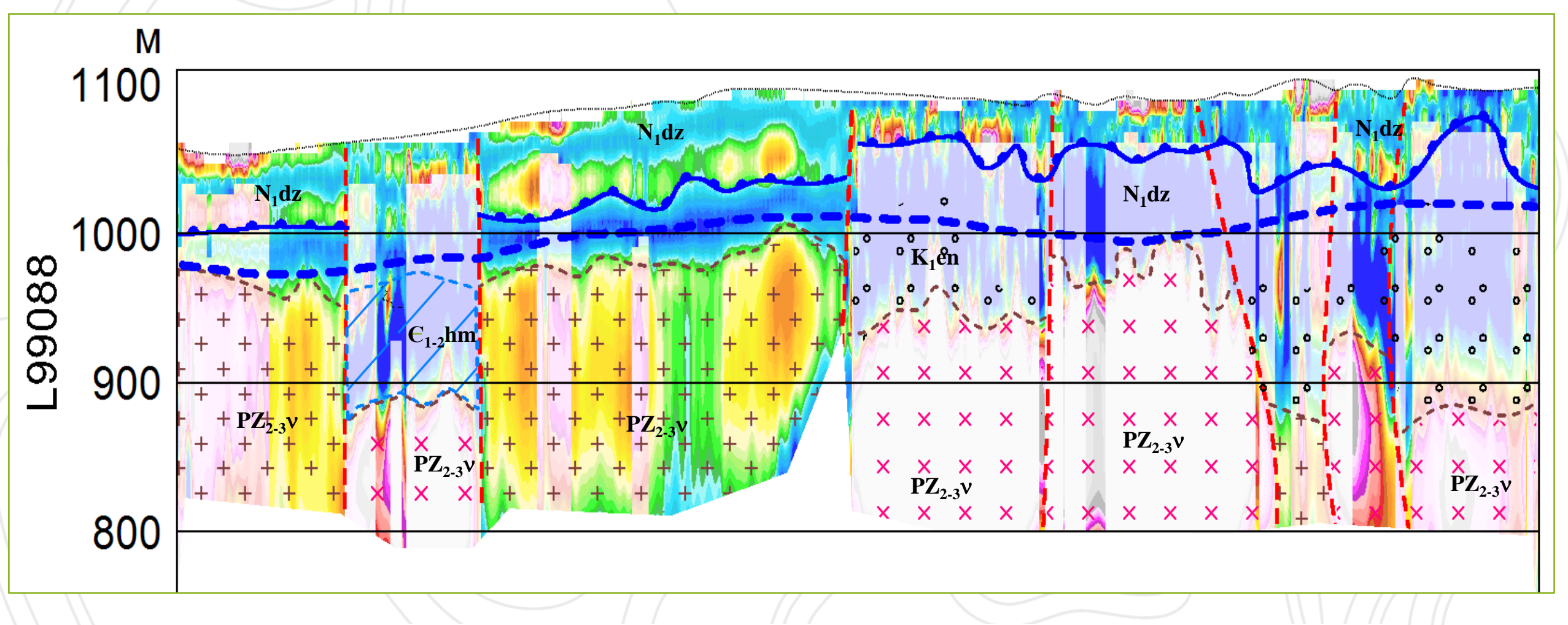




## Определение подошвы ММП

Дулесма





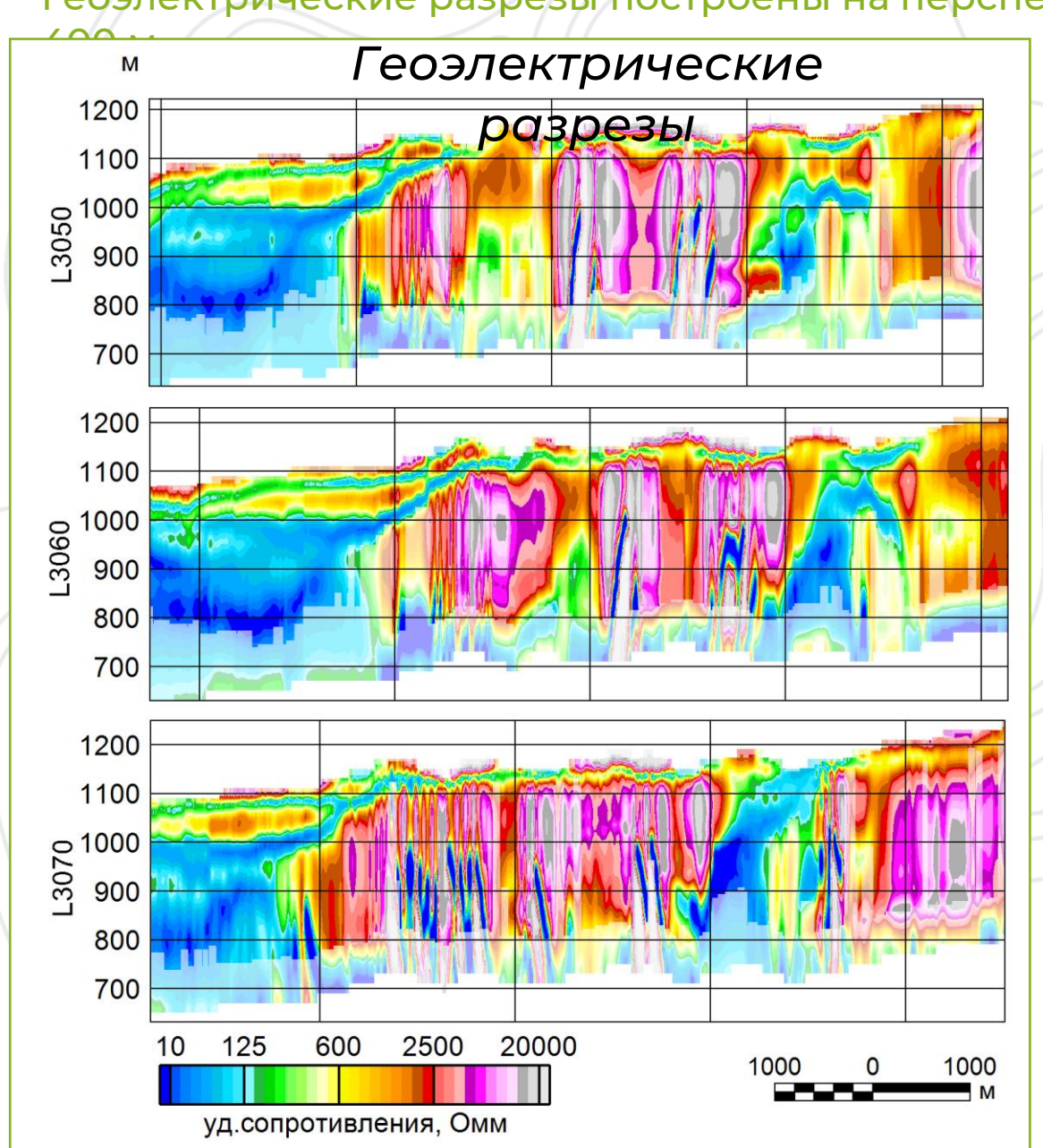
Средний уровень подошвы ММП
Подошва ММП по геофизическим р
Кровля гранитоидов

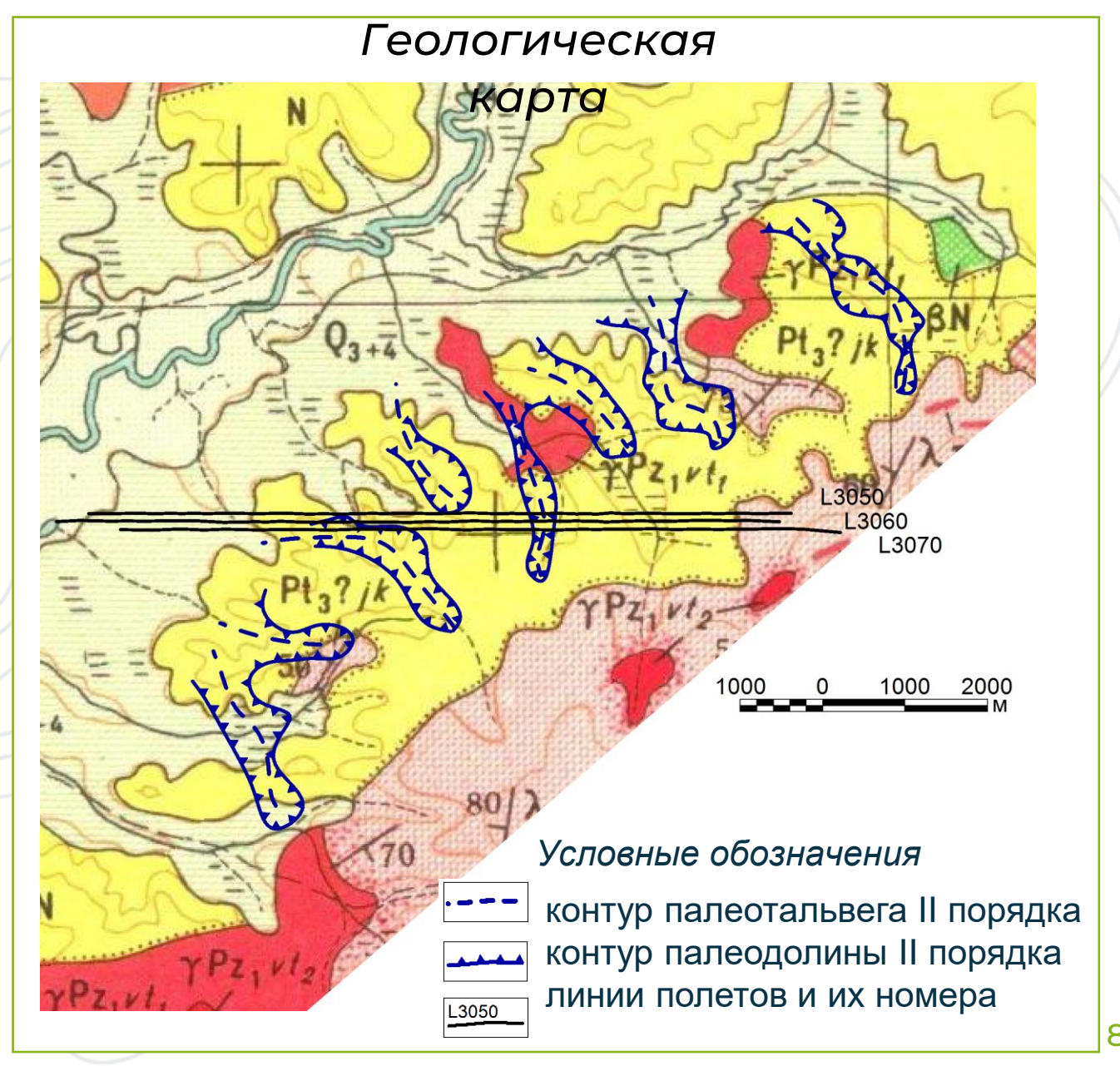
с низким сопротивлением с высоким сопротивлением

## Муясынская площадь



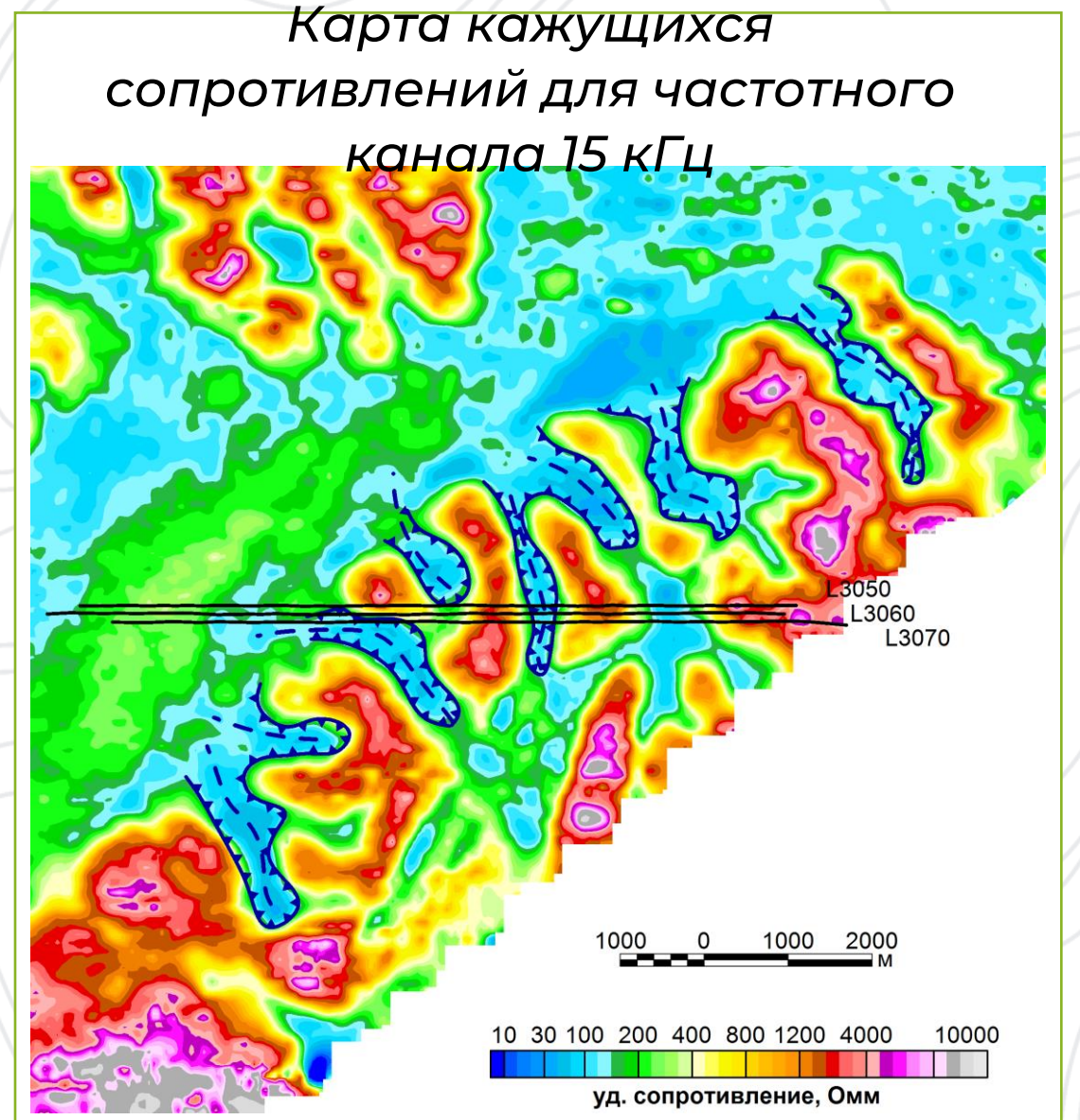
Геоэлектрические разрезы построены на перспективных структурах на глубину до

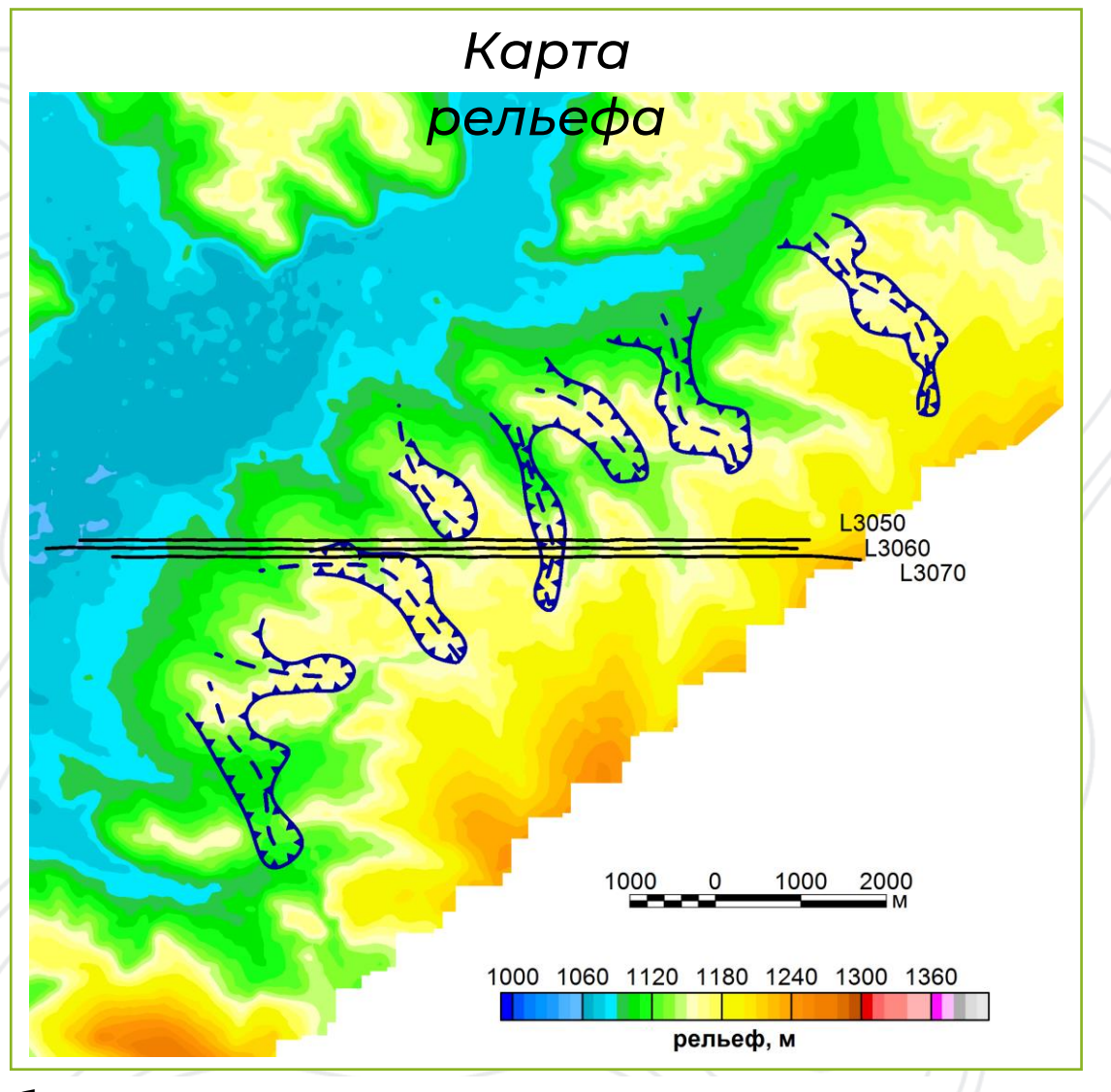




## Преимущество комбинированной системы







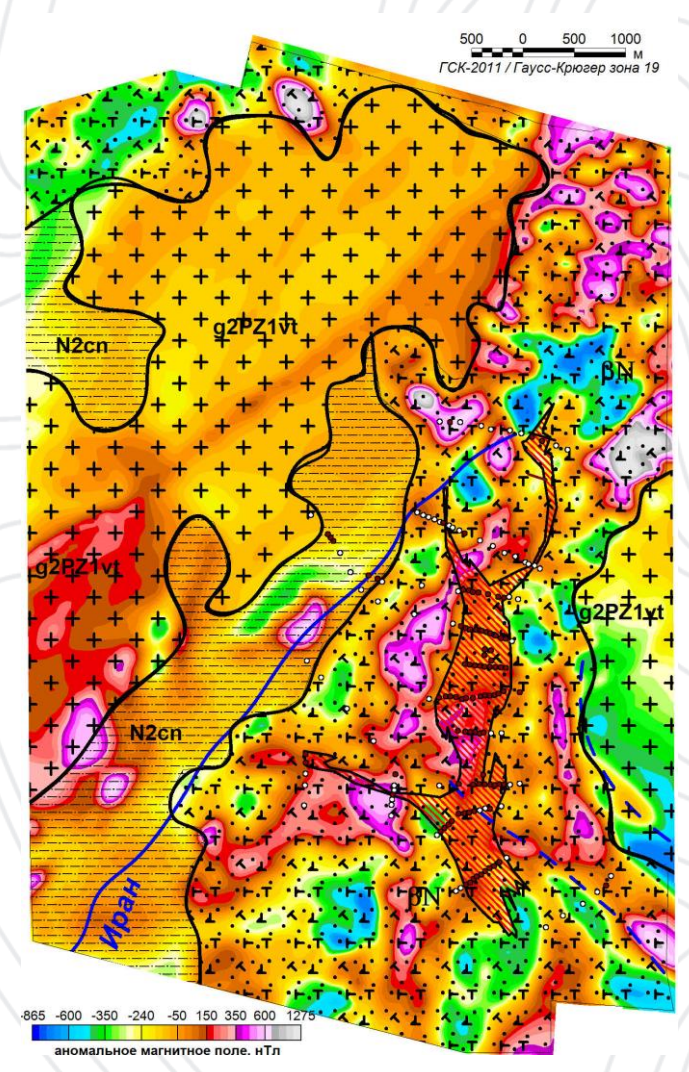
Условные обозначения

-- контур палеотальвега II по<mark>рядк</mark>аконтур палеодолины II пор<del>зяд</del>калинии полетов и их номера

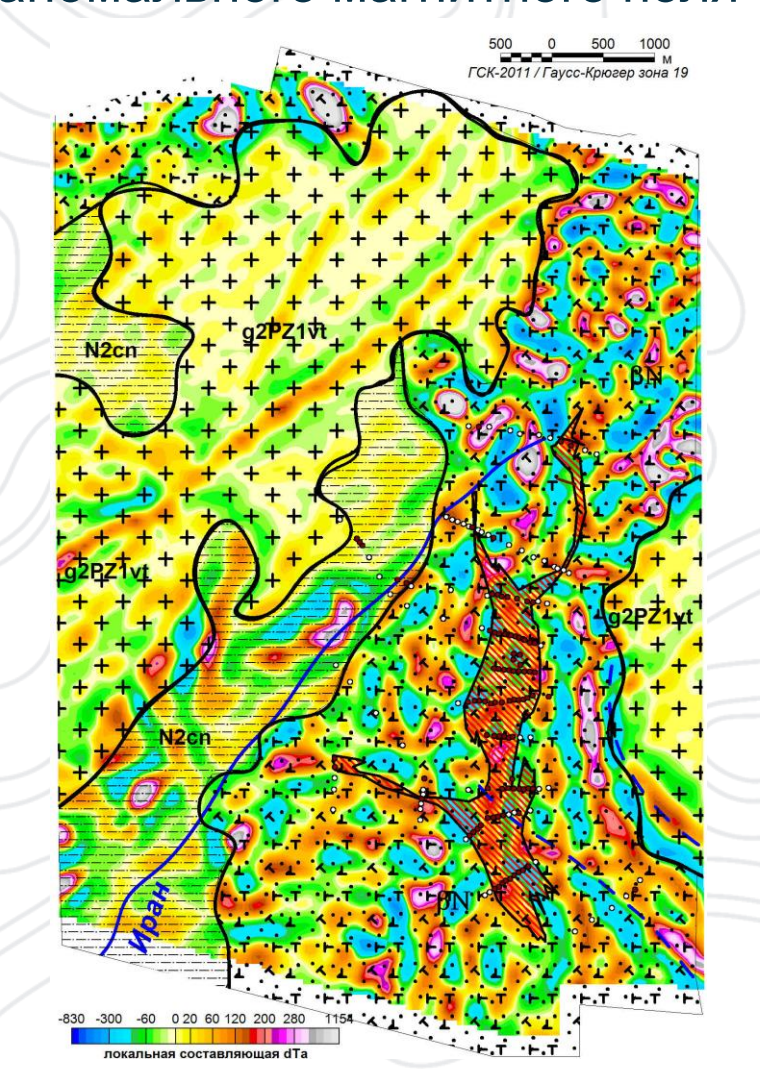


#### КАРТИРОВОЧНЫЕ ВОЗМОЖНОСТИ КОМПЛЕКСА ЭКВАТОР

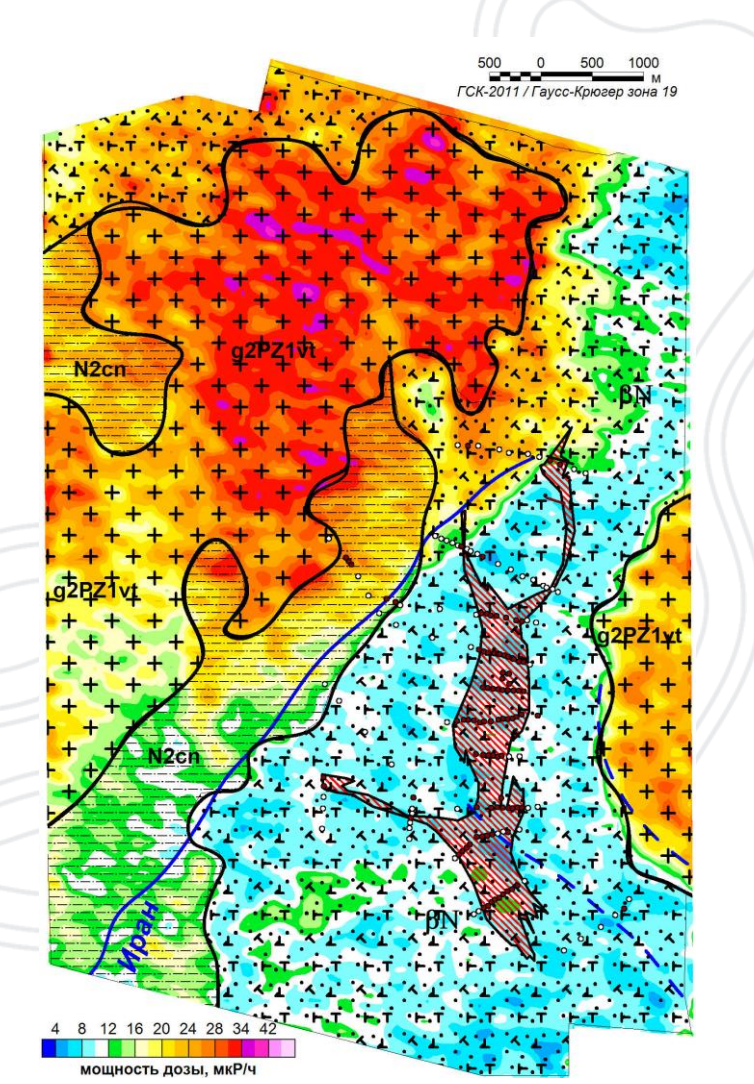
Карта аномального магнитного поля



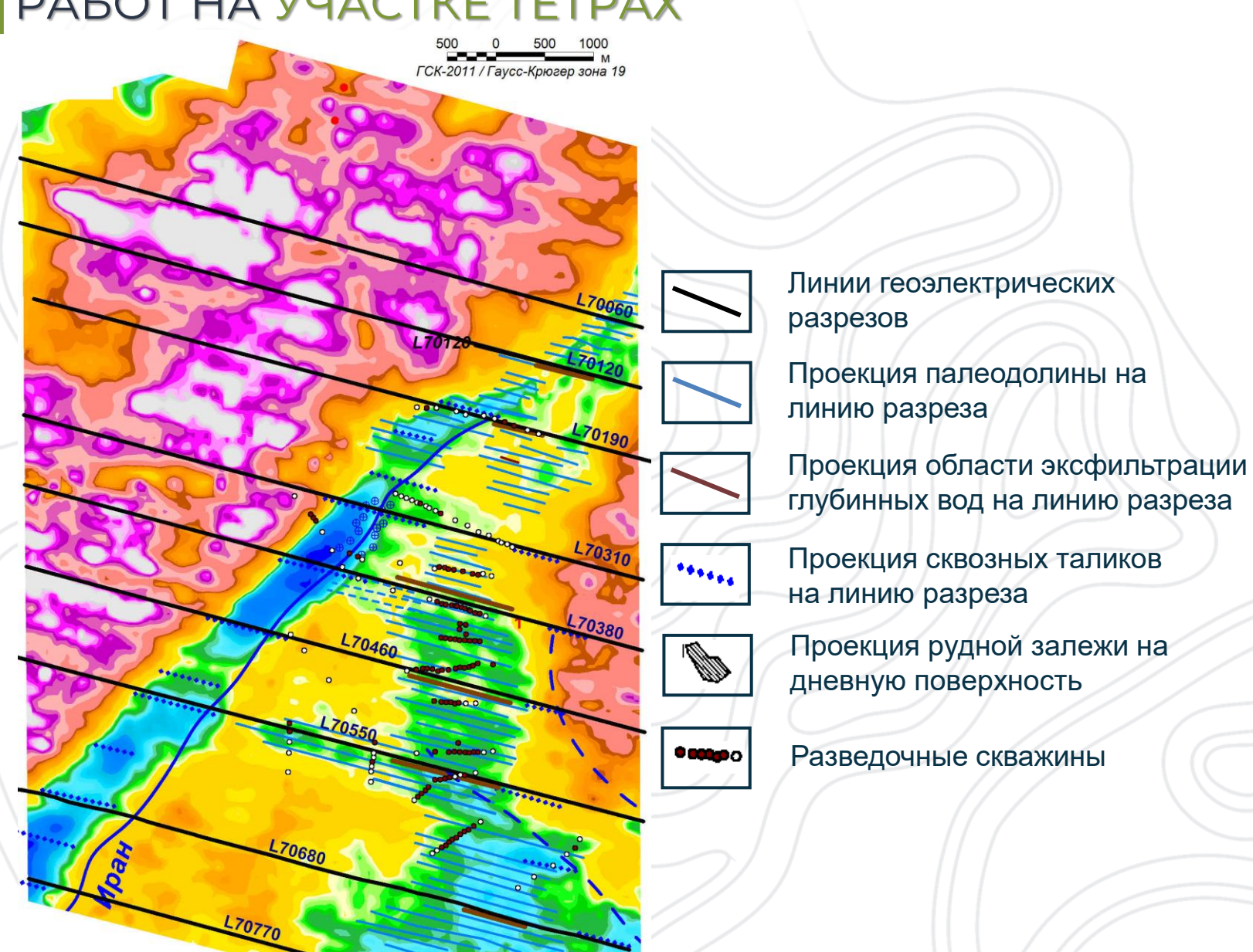
Карта локальной составляющей аномального магнитного поля

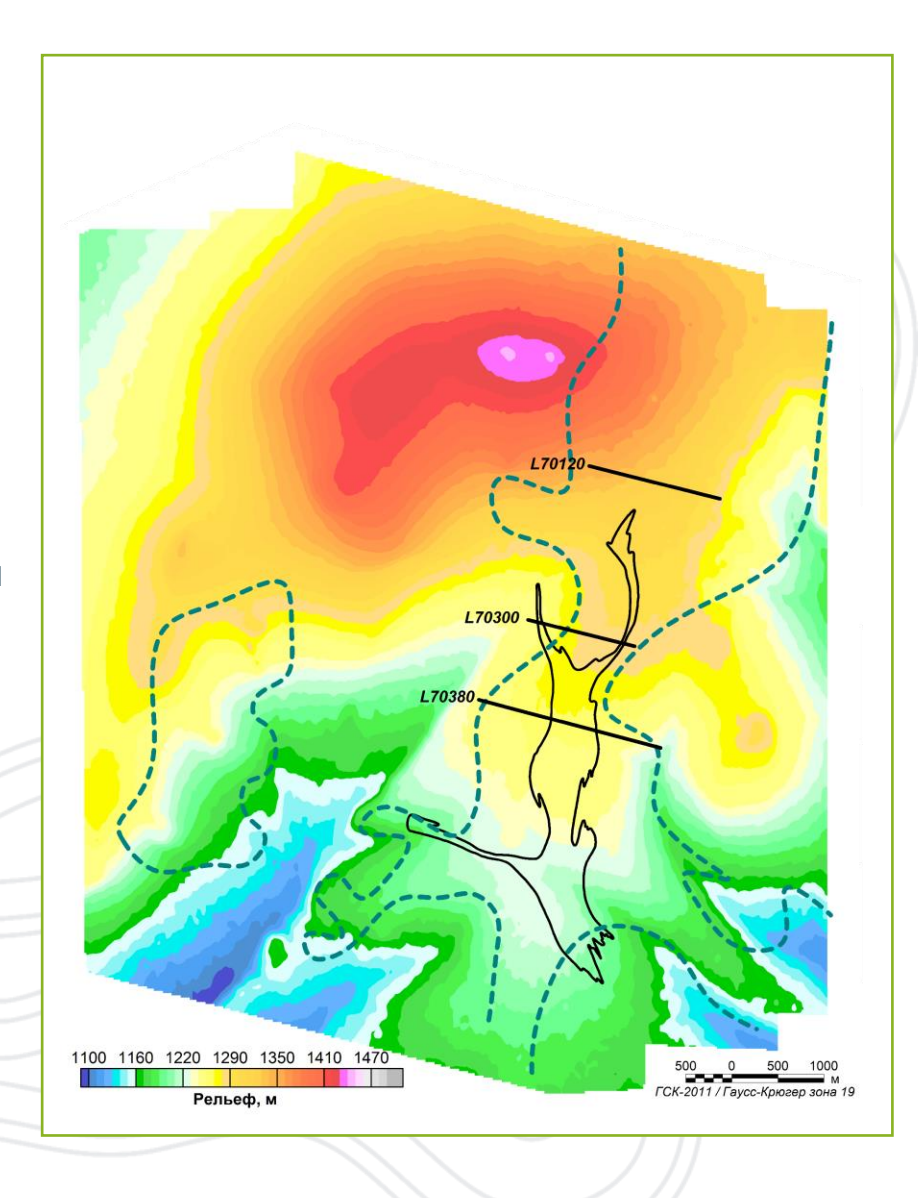


Карта мощности дозы



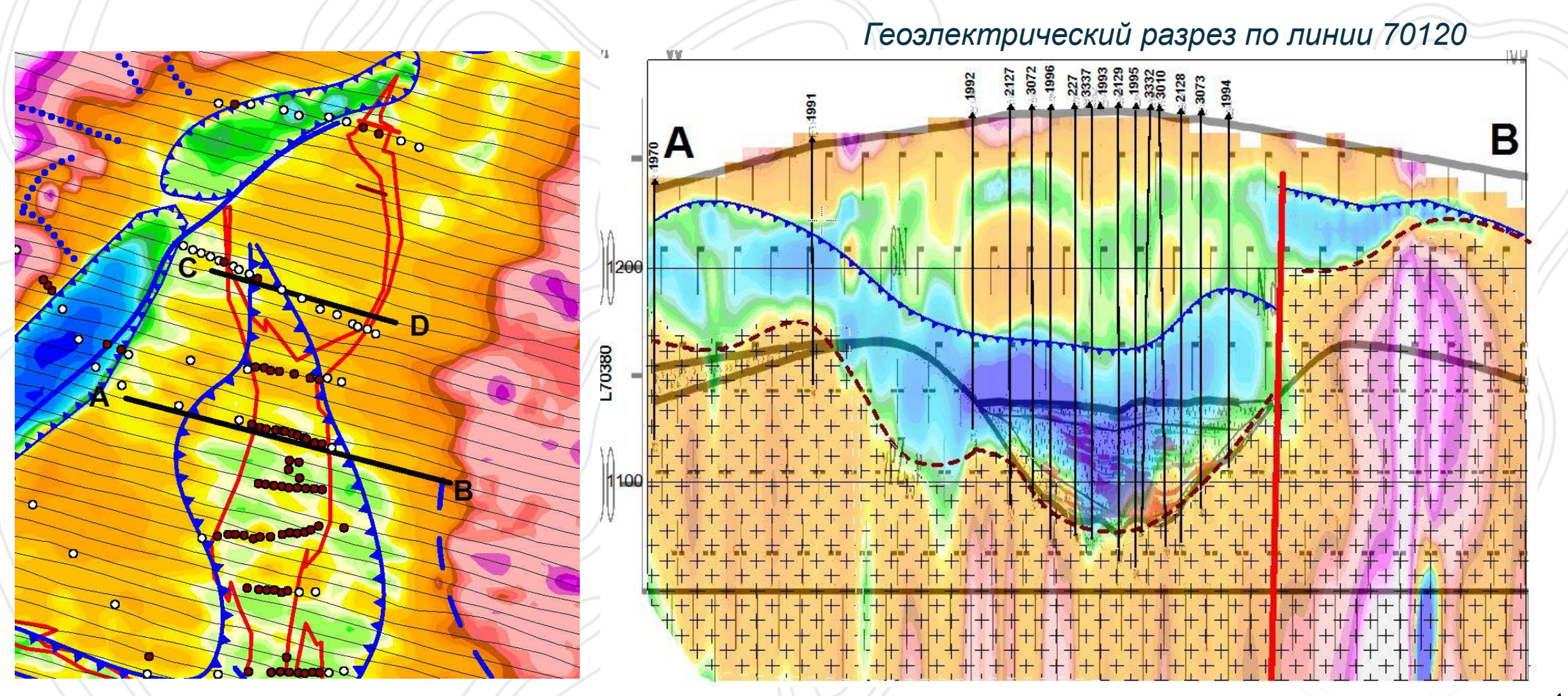




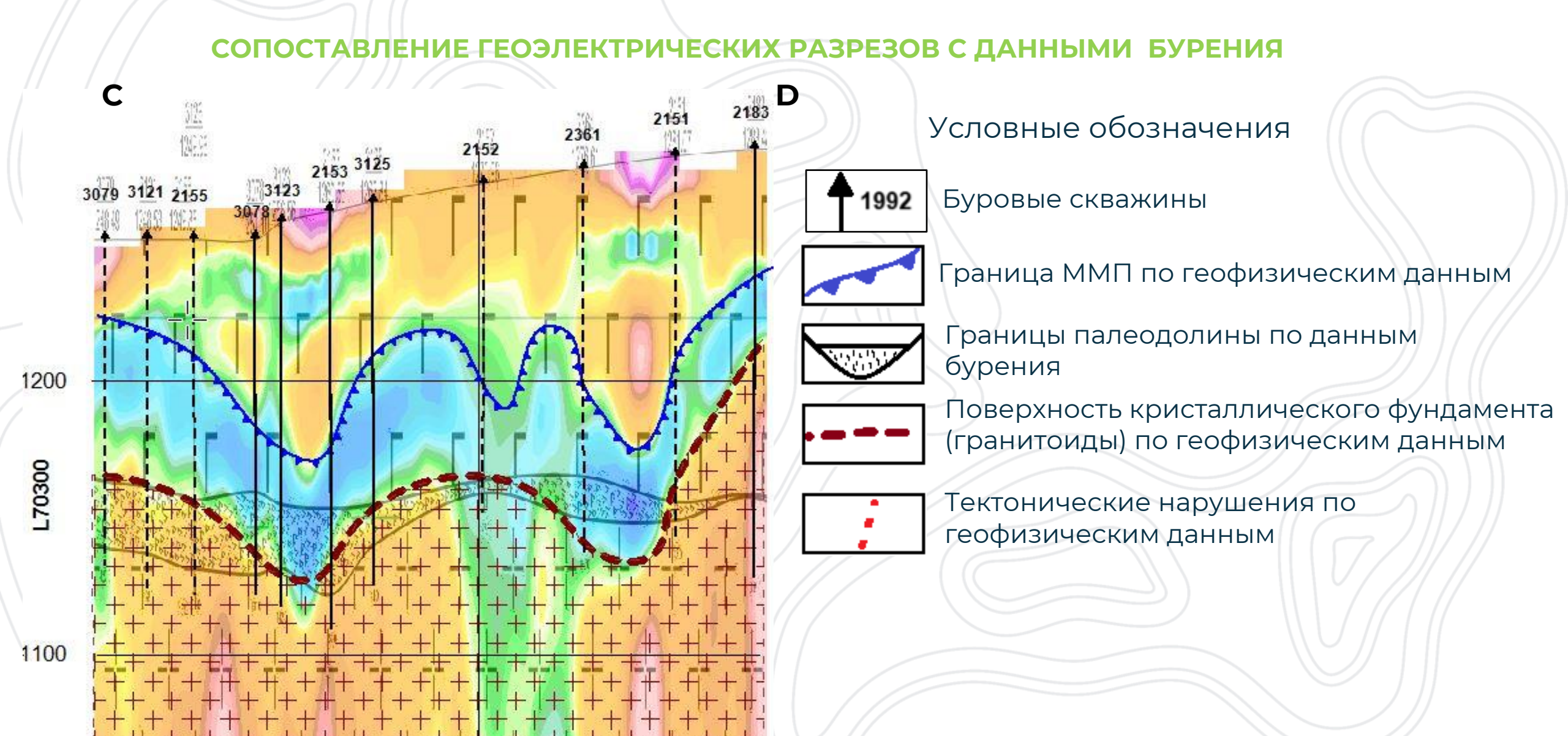




#### СОПОСТАВЛЕНИЕ ГЕОЭЛЕКТРИЧЕСКИХ РАЗРЕЗОВ С ДАННЫМИ БУРЕНИЯ







## Используемые поисковые критерии (по Солодову И.Н.,

**GEO** Technologies

1

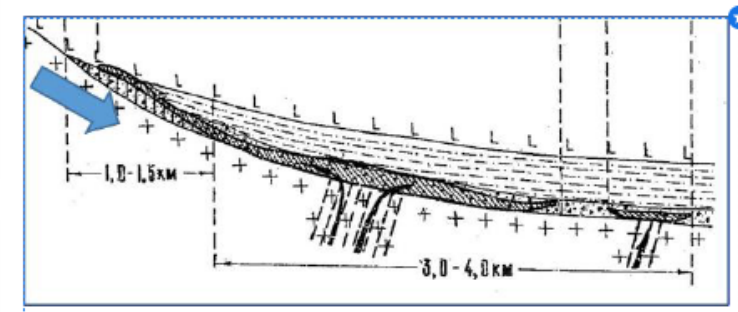
Граниты баргузинского и витимканского комплексов – объемный источник урана с содержанием U n·10<sup>-4</sup> %

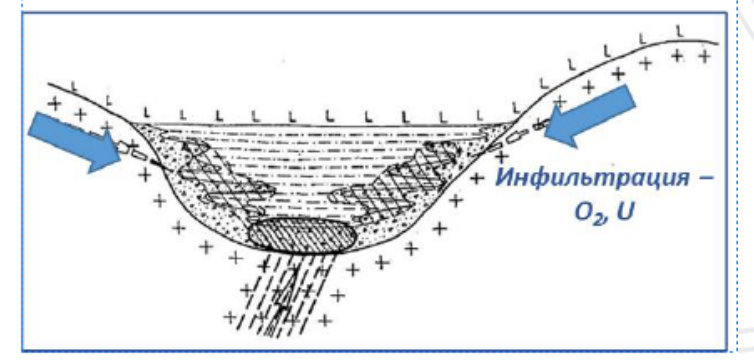
2

Палеодолины и овражно-балочная сеть врезанные в кристаллический фундамент на склонах поднятий

3

Палеорусла заполненные миоценовыми (N<sub>2-3</sub>) делювиально-пролювиально-аллювиальными терригенными отложениями с углефицированными растительными остатками (концентраторами урана),





4

Вынос урана из кор выветривания гранитоидов (синие стрелки) кислородными инфильтрационными водами с бортов и верховьев палеодолин

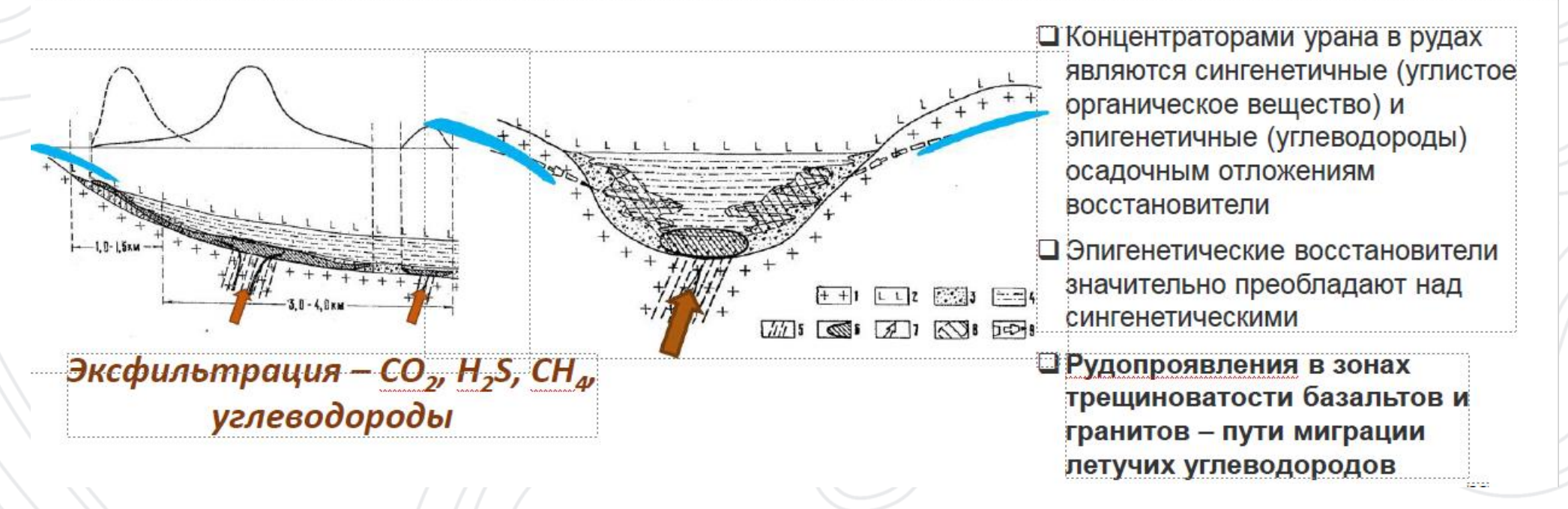
5

Перекрытие слабопроницаемыми болотно-озерными отложениями и платобазальтами, препятствующими? проникновению окислительных иетеорных вод

## Концептуальная модель рудосохранения (по Солодову И.Н., 2022)



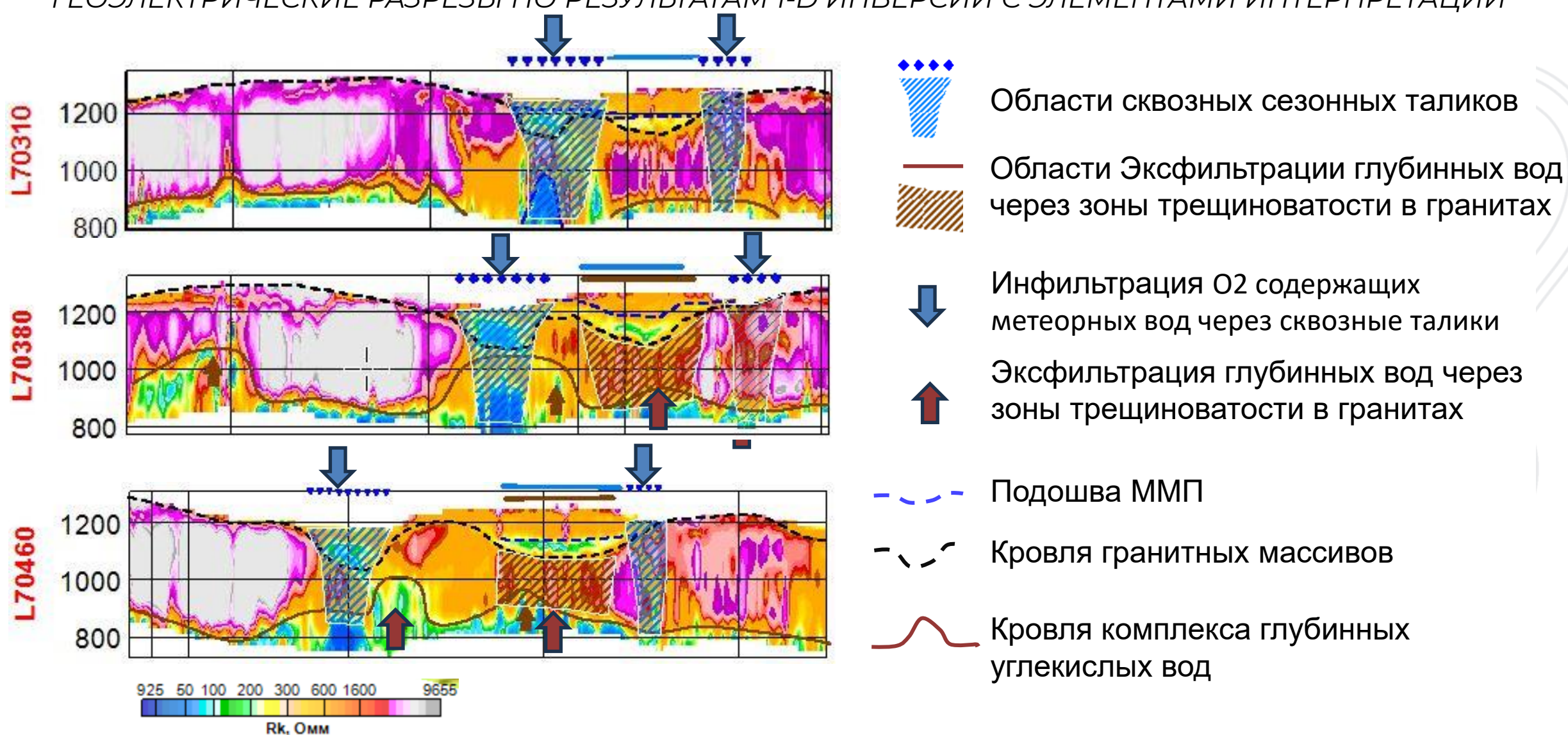




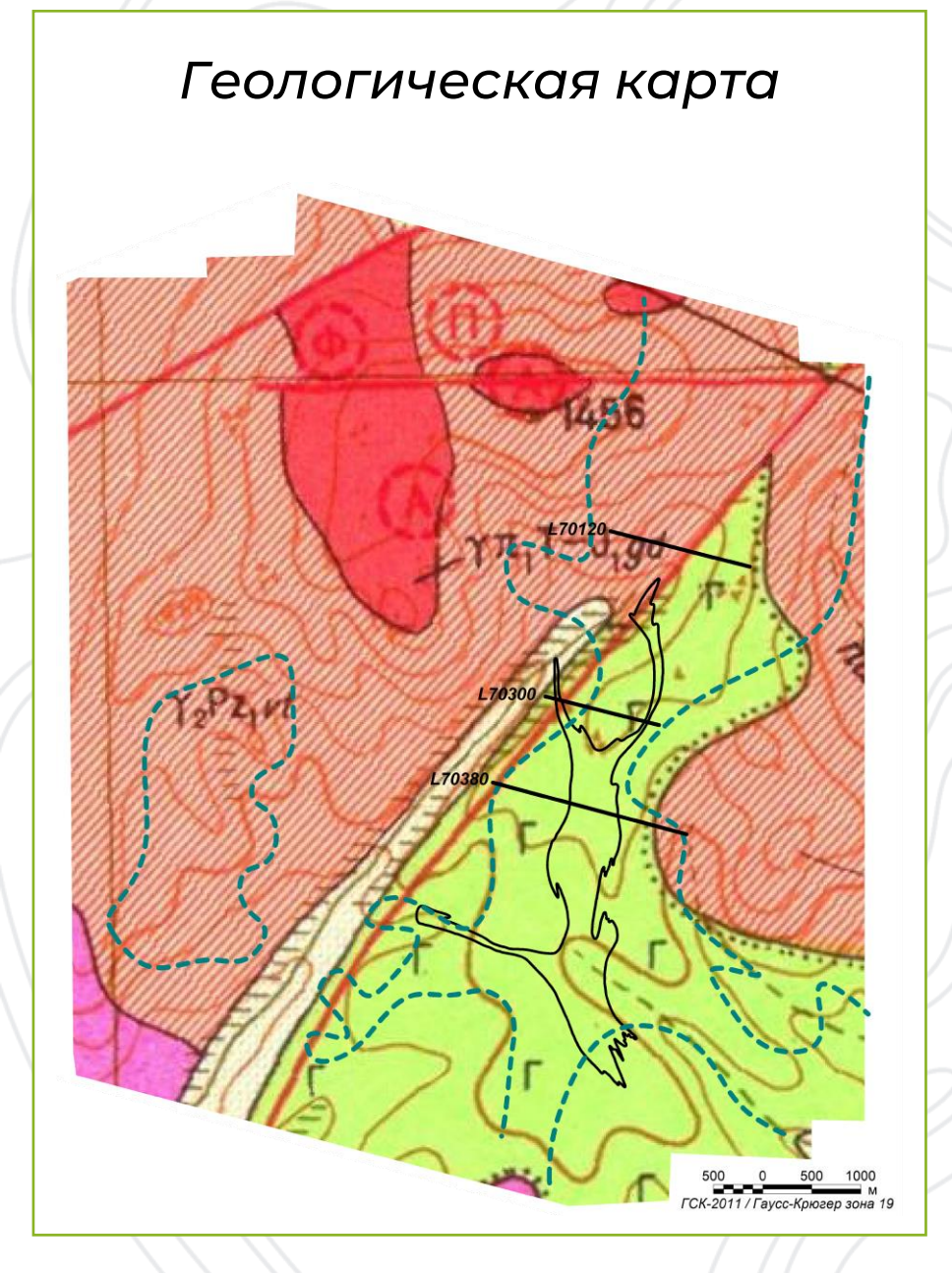
## Результаты опытно-методических работ на участке Тетрах

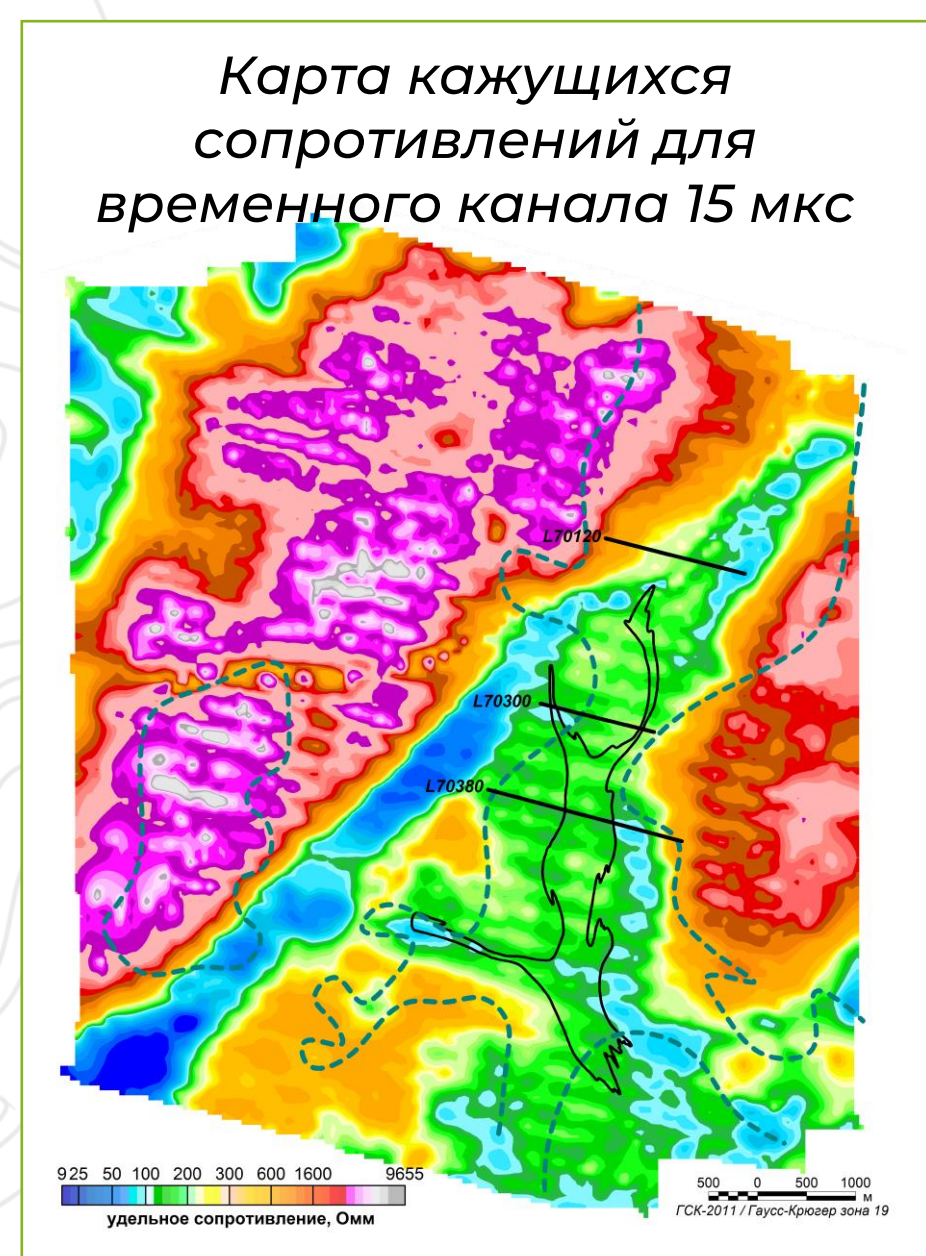


ГЕОЭЛЕКТРИЧЕСКИЕ РАЗРЕЗЫ ПО РЕЗУЛЬТАТАМ 1-D ИНВЕРСИИ С ЭЛЕМЕНТАМИ ИНТЕРПРЕТАЦИИ



### Тетрахское месторождение







Условные обозначения

Линии полетов

и их номера

Контур базальтов по данным магнитометрии



Контур рудного тел по данным бурения

## Выводы



- Аэрогеофизические исследования, выполняемые комплексом ЭКВАТОР, по сравнению с наземной геофизикой, обеспечивают более высокую производительность, стабильноравномерные условия измерений, более детальный шаг исследований вдоль линии профиля и позволяют в сжатые сроки реализовывать плотные сети наблюдений (вплоть до масштаба 1:5000)
- Электромагнитные зондирования системой ЭКВАТОР позволяют создавать детальные 3-х мерные модели распределения удельных сопротивлений до глубины 250-400 м с ячейкой 10х10х5 м.
- Использование электромагнитных зондирований для поиска погребенных



«Look deep into nature, and then you will understand everything better»- Albert Einstein



СПАСИБО ЗА ВНИМАНИЕ!



+7 499 344 04 24 info@geotechnologies.ru www. geotechnologies.ru